

فرایندهای غالب شکل‌زا در تشکیل توده‌های ماسه‌ای مناطق ساحلی مطالعه موردي: جلگه غربی مکران

سیاوش شایان^۱، محمد اکبریان^{۲*}، مجتبی یمانی^۳، محمد شریفی کیا^۴، مهران مقصودی^۳

۱. گروه جغرافیای طبیعی، دانشگاه تربیت مدرس، تهران، ایران
۲. گروه جغرافیا، دانشگاه هرمزگان، بندرعباس، ایران
۳. گروه جغرافیای طبیعی، دانشگاه تهران، تهران، ایران
۴. گروه سنجش از دور، دانشگاه تربیت مدرس، تهران، ایران

تاریخ پذیرش: ۱۳۹۴/۴/۲۷

تاریخ دریافت: ۱۳۹۳/۱۱/۲۸

چکیده

ناپایداری و تحرك تپه‌های ماسه‌ای از مهم‌ترین دغدغه‌های برنامه‌ریزی و مدیریت در جلگه‌های ساحلی مناطق خشک است. توده‌های ماسه‌ای بر اثر عوامل مختلفی در مناطق ساحلی ایجاد می‌شوند و بررسی چگونگی تشکیل و تکوین آن‌ها در برنامه‌ریزی‌ها و مدیریت محیطی منطقه ساحلی دارای اهمیت فراوان است. هدف اصلی این پژوهش شناسایی مهم‌ترین عوامل تأثیرگزار بر پراکندگی توده‌های ماسه‌ای در بخش غربی جلگه مکران است. توزیع فضائی، لندهای ژئومورفولوژی، سرعت و جهت باد و اطلاعات امواج، داده‌های این تحقیق هستند. نقشه‌های توپوگرافی، نقشه‌های زمین‌شناسی، تصاویر ماهواره‌ای، GPS و نرم‌افزارهای رایانه‌ای از جمله Arc, Freehand, WR_{PLOT View} و GIS، ابزار تحقیق بودند. پس از تهیه نقشه ژئومورفولوژی، با استفاده از معادله مولیتور و نرم‌افزار WR_{PLOT View}، گل‌بادها و گل‌موج‌های ساحلی منطقه ترسیم شد. جهت حرکت و گسترش یافتنگی توده‌های ماسه‌ای بر سطح جلگه نیز به کمک عکس‌های هوایی، تصاویر کارتوفت پی فایو و ای‌تی‌ام مثبت مورد بررسی قرار گرفت. تغییرات ماهانه در آب و هیدرودینامیک رودخانه‌های اصلی منطقه با استفاده از گردآوری نتایج سایر مطالعات و آمار ایستگاه‌های هیدرومتری بررسی شد. بر اساس یافته‌های تحقیق موقعیت و پراکندگی توده‌های ماسه‌ای ساحلی تابع باد نیست و بیشتر متأثر از ویژگی‌های ژئومورفولوژیک پیش‌کرانه جزر و مدی و هیدرودینامیک ساحلی است. پراکندگی توده‌های ماسه‌ای سطح جلگه ساحلی نیز بیش از اینکه تابع باد باشد، متأثر از جهت کشیدگی جلگه نسبت به باد غالب منطقه و وسعتی از بستر سیلابی و بسترها قدری رودخانه‌ای است که در معرض باد غالب قرار دارد.

واژه‌های کلیدی: ژئومورفولوژی ساحلی؛ ماسه ساحلی؛ دینامیک دریا؛ هیدرودینامیک رودخانه؛ جلگه مکران

عوامل چندی از جمله مدت وزش باد، طول بادگیر و توان جریان یا نیروی باد، بستگی دارد (United Kingdom Hydrographic Office, 2004). امواجی که به سمت ساحل حرکت می‌کنند و بالاخره شکسته می‌شوند، ممکن است بر روی شبی ساحل پخش شوند یا با فشار به دیواره‌های ساحلی برخورد کنند. در مورد نیروی برخورد امواج، مطالعات کتابخانه‌ای زیادی صورت گرفته که از آن جمله می‌توان به مطالعات Bagnold (Hayashi and Hattori (1939) و Ross (1955) (1958) اشاره کرد. فرسایش تپه‌ها و سواحل ماسه‌ای نیز از جمله مسائل عمومی مهندسی سواحل است که توجه محققین بسیاری از جمله Vellinga (1973), Dean (1973), Steetzel (1987), Detta and Uliczka (1986) (1993), Larson et al (2004) را به خود جلب کرده است.

گستردنی امواج طوفانی و قطر ذرات بستر از مهم‌ترین ویژگی‌هایی است که بر میزان فرسایش تپه‌های ماسه‌ای ساحلی تأثیرگذار است. اگر امواج طوفانی کوتاه‌تر، ارتفاع موج کمتر، دوره بازگشت امواج کوتاه‌تر، زمان وزش طوفان کمتر و قطر ذرات ماسه درشت‌تر باشد، فرسایش تپه‌های ماسه‌ای ساحلی کاهش می‌یابد (Rijn, 2013). یکی از عواملی که باعث حرکت ماسه از ناحیه جزر و مدی به کرانه ساحلی می‌شود، نسیم دریا به خشکی است. نسیم دریا در سواحل شمالی خلیج فارس علاوه بر اختلاف پهنه دریا و خشکی، از توبوگرافی سطحی و دوری و نزدیکی ارتفاعات به دریا نیز تبعیت می‌کند (Shamsipour et. al., 2004).

Yamani (1995) در مطالعه حرکات آب دریای عمان در تشكیل و تکامل تالاب‌های جزر و مدی (در سواحل مکران) به کمک مقایسه عکس‌های هوایی در دو بازه زمانی ۴۰ ساله، تغییرات خط و پهنه ساحلی را در قالب بیش از ۱۵ سایت بررسی کرده به این نتیجه رسید که رسوبات منتقل شده توسط رودها به خط ساحل، توسط امواج مایل جنوب‌شرقی در طول خط ساحل به سمت غرب حرکت می‌نمایند؛ جریان تدریجی رسوبر به

۱. مقدمه

تپه‌های ماسه‌ای در سواحل اکثر دریاها و اقیانوس‌ها به وجود می‌آیند. این تپه‌ها زاییده اثرات متقابل امواج دریا، جریانات دریایی، وزش باد و مواد رسوبی موجود در ساحله‌ستند؛ آن‌ها تکمیل‌کننده اجزای محیط ساحلی بوده، اساس زیست‌بومی را تشکیل می‌دهند که در برگیرنده اجتماعات ارزشمندی از گیاهان و جانوران است (Kidd, 2001). علاوه بر محدوده‌های جزرومدّی، بستر رودها، سطوح دلتایی و پهنه جلگه ساحلی نیز می‌تواند منشأ توده‌های ماسه‌ای محسوب شود. این نکته نیز حائز اهمیت است که بخش عمدۀ رسوبات حوضه‌های آب‌خیز مشرف به ساحل، به‌وسیله رودخانه‌ها به دریا منتقل می‌شود و ممکن است دوباره طی فرایندهای دریایی به خشکی بازگشته، در معرض رفت‌وروّب بادی قرار گیرد. منطقه مورد مطالعه جزء بیابان‌های سواحل دریای عمان است؛ جایی که فراوانی بادهای شدید به‌خصوص در فصل تابستان یکی از ویژگی‌های آن است. این منطقه از دیدگاه ژئومورفولوژیک دینامیک کاملاً فعل است. تحولات ژئومورفولوژیک زیادی بر داشت اثر گذاشته است و انواع لندفرم‌های فرسایشی، خاصه لندفرم‌های بادی را می‌توان در آن مشاهده کرد.

فرسایش بادی، عامل اصلی فرایندهای بادی و بیابان‌زایی در مناطق خشک و نیمه‌خشک است (Yan, 2004). مطالعات فراوانی در زمینه فرایندهای بادی حمل ذرات خاک انجام‌شده است (Babnold, 1941; chepil and Woodruff, 1963; Greeley and Iversen, 1985). نواحی خشک و سواحل دریاها مساعدترین قلمرو عملکرد باد است (Mahmoodi, 2010)؛ حال اگر سواحل دریا منطبق با مناطق خشک اقلیمی باشد، آثار فرسایش بادی و فرایندهای آن پیچیدگی بیشتری خواهد داشت. تقریباً اکثر امواج دریایی به‌وسیله‌باد ایجاد می‌شوند؛ اگرچه عوامل دیگری نظیر انفجارات آتش‌فشانی، زلزله و یا حتی سقوط توده‌های یخچالی نیز ممکن است موج ایجاد کنند (United Kingdom Hydrographic Office, 2004).

ابعاد (بیش از ۳ متر) در دشت نشان از شدیدترین دوره‌های خشکی و وقوع فرسایش بادی در زمان حاضر را دارد.

در سواحل مکران در استان هرمزگان، هر چه از شهرستان میناب به سمت جنوب و شرق پیش می‌رویم، به وسعت و حجم اشکال تراکمی بادی افزوده می‌شود. در سواحل جنوبی مکران، وسعت توده‌های ماسه‌ای به حدی است که بعضاً تمامی سطح جلگه ساحلی را می‌پوشاند و در مقابل در سواحل غربی مکران (تنگه هرمز)، از وسعت این اشکال کاسته و به صورت لکه‌ای در بخش‌هایی از نوار ساحلی دیده می‌شوند. به نظر می‌رسد دینامیک باد و هیدرودینامیک دریا، در کنار دینامیک رودخانه فرایندهای اصلی تأثیرگذار بر تشکیل توده‌های ماسه‌ای جلگه ساحلی باشند. هدف اصلی این پژوهش شناسایی مهم‌ترین عوامل تأثیرگزار بر موقعیت تمرکز و پراکندگی توده‌های ماسه‌ای در بخش غربی جلگه مکران است.

۲. مواد و روش‌ها

منطقه تحقیق در استان هرمزگان، سواحل شرقی تنگه هرمز و شمال دریای عماناقع شده‌است. مختصات جغرافیائی آن $۵۶^{\circ}۰۵۴' \text{ تا } ۵۶^{\circ}۰۱'$ طول شرقی و $۲۷^{\circ}۰۰' \text{ تا } ۲۷^{\circ}۰۹'$ عرض شمالی است. وسعت این منطقه $۳۶۸/۷۹$ کیلومترمربع است. با احتساب حوضه‌های آبخیز بالادست، وسعت منطقه به ۲۶۴۴۰ کیلومترمربع می‌رسد. شکل ۱ موقعیت محدوده تحقیق را نشان می‌دهد.

این محدوده، در واحد ژئومورفولوژی جلگه‌های کناره‌ای جنوب، جلگه شمال دریای عمان و از نظر زمین‌شناسی در منطقه مکران قرار دارد؛ این زون از رسوبات بستر دریا، سنگ‌های افيولیتی و رسوبات آب‌های سطحی تشکیل‌شده‌است. مجموعه سنگ‌های افيولیتی، بخشی از پوسته اقیانوسی کره زمین و گوشه‌های بالایی در زیر پوسته است که در پی فشار به سوی بالا آمده و از آب دریاها بیرون آمده‌اند (Bazobandi, 2003).

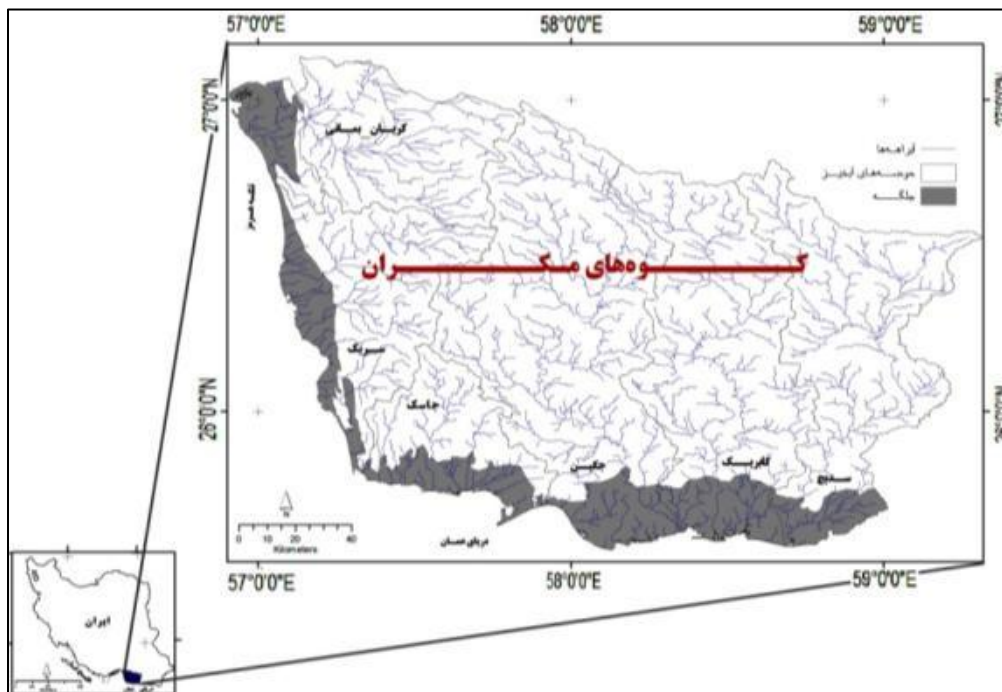
سمت مغرب، باعث تشکیل پیکان‌های ساحلی و در نهایت تشکیل تالاب‌های جزر و مدی می‌شود.

Mahmoodi (2002) مجموعه ماسه‌های سواحل عمان را به دو بخش متمایز شامل ماسه‌های ساحلی و ماسه‌های بادی تقسیم نمود؛ از دید او ماسه‌های ساحلی بدون استثناء به صورت رشته‌های عرضی و موازی با ساحل شکل می‌گیرند و تقریباً قسمت بیشتر ساحل را پوشانده، عرض آن‌ها از چندین ده متر تا بیش از یک کیلومتر هست؛ ماسه‌های بادی حاصل کندوکاو بادهای محلی و فصلی در رسوب‌های تخریبی و فوق العاده ریزدانه سیلاب‌های فصلی و اتفاقی جلگه ساحلی‌اند. Gharibreza and Motamed, 2004 تپه‌های ماسه‌ای ساحلی استان سیستان و بلوچستان با استفاده از مقایسه عکس‌های هوایی ۱۳۴۶ و ۱۳۷۲ و پیمایش میدانی، به این نتیجه رسیدند که تپه‌های ماسه‌ای عرضی، مرکب، پناهگاهی و پهنه‌های ماسه‌ای به علت تبادل رسوب بین دریا و ساحل، رویش گیاهان در کنار رودخانه‌ها و حرکت به سمت مرکز بیابان، رشد کرده و تپه‌های ماسه‌ای طولی، برخان و تپه‌های گنبدی، به لحاظ فرسایش بادی و تغییر شکل به انواع دیگر، دچار کاهش سطح شده‌اند.

Negaresh.(2006) در مطالعه ژئومورفولوژی خورتنگ و ویژگی‌های آن بر اساس تجربیات میدانی و مشاهدات عینی، عنوان کرد که تپه‌های ماسه‌ای ساحلی منطقه، بر اثر توفان‌های شدید دریایی که جهت غالب آن‌ها جنوب‌غربی-شمال‌شرقی است به وجود آمده‌اند؛ این تپه‌ها منشأ دریایی دارند و پوسته خردشده صدف دریایی دارند. او عواملی از قبیل تکتونیک، ساختمان و شبی طبقات، مقاومت و جنس رسوبات، تغییرات سطح آب دریای عمان در دوره‌های یخچالی و بین یخچالی را در پیدایش جلگه ساحلی مؤثر می‌داند. به گفته Ekhtesasi (2006) بررسی‌های رسوب‌شناسی در دشت سدیج وجود لایه‌های رسوبات بادی با ضخامت ۱۰ تا ۱۲ سانتی‌متر در بین رسوبات آبی را نشان می‌دهد که بیانگر تکرار دوره‌های خشکی و فرسایش بادی در گذشته است ولی ضخامت و انبساط رسوبات بادی با این

پهنهای نوار ساحلی بستگی دارد (Yamani, 1995)، بخش جنوبی منطقه پهنهای بیشتری داشته و گسترش توده‌های ماسه‌ای بر سطح آن بیشتر است؛ ولی در بخش غربی، گسترش توده‌های ماسه‌ای صرفاً به موازات خط ساحل محدود شده است.

اقلیمی جزو منطقه بلوچی و نزدیک با آب و هوای بیابانی و سندی و نیمه استوائی است. مجموعه ماسه‌های منطقه، به دو بخش متمایز شامل ماسه‌های ساحلی و ماسه‌های بادی تقسیم می‌شوند (Mahmoodi (2002) ماسه‌های ساحلی بدون استثناء موازی با ساحل شکل گرفته‌اند. تراکم شکل‌های ماسه‌ای تا حد زیادی به



شکل ۱، موقعیت جغرافیائی منطقه تحقیق

گام دوم: با استفاده از داده‌های ایستگاه‌های هواشناسی منطقه، بادهای غالب و سرعت و جهت باد تعیین و گل‌بادهای سالانه ترسیم شد.

گام سوم: با مقایسه عکس‌های هوایی ۱:۴۰۰۰۰ سال ۱۳۷۲ با تصاویر ماهواره‌ای کارتوتست پی فایو^۱ ۲۵ فوریه ۲۰۱۴ و ای‌تی‌ام ۲۰۰۲ مثبت، جهت حرکت و گسترش یافتگی توده‌های ماسه‌ای بر سطح جلگه بررسی شد. نقاط شاخص مطالعات این گام به کمک نقشه ژئومورفولوژی تهیه شده در خروجی گام اول و نیز با لحاظ محدودیت‌های دسترسی به تصاویر ماهواره‌ای کارتوتست پی فایو، تعیین گردید.

گام چهارم: در این گام پس از انتخاب ایستگاه‌های فرضی اندازه‌گیری امواج به کمک نتایج گام اول، با

توزیع فضائی لندرم‌های ژئومورفولوژی و ویژگی‌های آن‌ها، سرعت و جهت باد و اطلاعات امواج، برخی از داده‌های ورودی این تحقیق بوده‌اند. نقشه‌های توبوگرافی، نقشه‌های زمین‌شناسی، تصاویر ماهواره‌ای، GPS و نرم‌افزارهای رایانه‌ای از جمله WRPLOT View و Arc GIS و Freehand، ابزار تحقیق هستند. پس از مطالعات کتابخانه‌ای و جمع‌آوری کتاب‌ها، اسناد، مدارک و نقشه‌های مورد نیاز، مطالعه در گام‌های زیر پیگیری شد. گام اول: در این مرحله از تحقیق، ویژگی‌های ژئومورفولوژیک منطقه مطالعاتی مؤثر در فرایند فرسایش بادی مورد مطالعه قرار گرفت. خروجی این گام، نقشه ژئومورفولوژی (Yamani., 2013) منطقه است.

باشد، برای ساحل جنوبی، ایستگاه سینوپتیک جاسک و برای ساحل غربی، ایستگاه سینوپتیک بندرعباس است؛ شکل ۲، گل باد سالانه و عصرگاهی (۱۲ جیامتی) و جدول ۱، توزیع فراوانی جهت‌های مختلف باد این ایستگاهها را در دوره آماری ۱۹۹۰ تا ۲۰۰۹ نشان می‌دهد.

شکل ۴، وضعیت گل‌موج‌های ساحلی محدوده تحقیق را در مقابل جهات وزش بادها و امواج محلی در دو بازه زمانی تابستانه (ژوئیه، اوت، سپتامبر) و مجموع سایر ماه‌های سال نشان می‌دهد. در انتخاب این دو بازه زمانی در سال، به دو نکته توجه شده است که عبارت‌اند از: ۱) آورد آبی رودخانه‌های اصلی منطقه که از اواخر پائیز تا اواسط بهار بوده و در فصل تابستان در ماه‌های ژوئیه، اوت و سپتامبر، دبی آب و رسوب به حداقل می‌رسد (شکل ۳) و ۲) تغییراتی که در جهت امواج از اوایل ژوئیه ایجاد شده و تا اواخر سپتامبر تداوم می‌یابد. در ترسیم گل‌موج‌های ساحل جنوبی از آمار باد ایستگاه سینوپتیک جاسک (۱۹۹۰-۲۰۰۹) و برای ساحل غربی از آمار باد ایستگاه سینوپتیک بندرعباس (۲۰۰۹-۱۹۹۰) استفاده شده است.

هیدرودینامیک رودخانه‌های اصلی بررسی شد. شکل ۳، نمودار تغییرات دبی برخی از رودخانه‌های اصلی منطقه و جدول ۲ ویژگی‌های هیدرودینامیکی رودخانه‌های اصلی محدوده تحقیق را که از مطالعات Yamani (1994) در بررسی تغییر مسیر رودخانه‌های منطقه از روش مقایسه عکس‌های هوایی سال‌های ۱۳۳۴ و ۱۳۷۴ استخراج شده است، نشان می‌دهد. در ساحل جنوبی، از ماه اکتبر تا پایان ماه ژوئن، امواج قطاع غربی و جنوب‌غربی غالب هستند؛ به استثناء غرب دماغه جاسک، از ماه ژوئیه امواج قطاع جنوب‌شرقی به نحو چشمگیری در این ساحل غالب می‌شوند و این وضعیت تا پایان سپتامبر تداوم می‌یابد (شکل ۴).

محاسبه طول بادگیر جهات مختلف در این ایستگاه‌ها، ارتفاع امواج به کمک معادله‌های Molitor^۱ (Senturk, 1995) و با استفاده از داده‌های باد ایستگاه‌های سینوپتیک جاسک و کلیماتولوژی سیرک، محاسبه شد.

$$F < 32 \text{ kms} \quad Z_d = 0.0032(\text{UF})^{\frac{1}{2}} + 0.75 - 0.27F^{\frac{1}{4}} \quad (1)$$

$$F > 32 \text{ kms} \quad Z_d = 0.0032(\text{UF})^{\frac{1}{2}} \quad (2)$$

$$Z_d = 0.0024(\text{U})^2 \quad (3) \quad Z_d \text{ سواحل اقیانوسی: ارتفاع}$$

موج به متر

U: سرعت باد به کیلومتر بر ساعت

F: طول بادگیر به کیلومتر

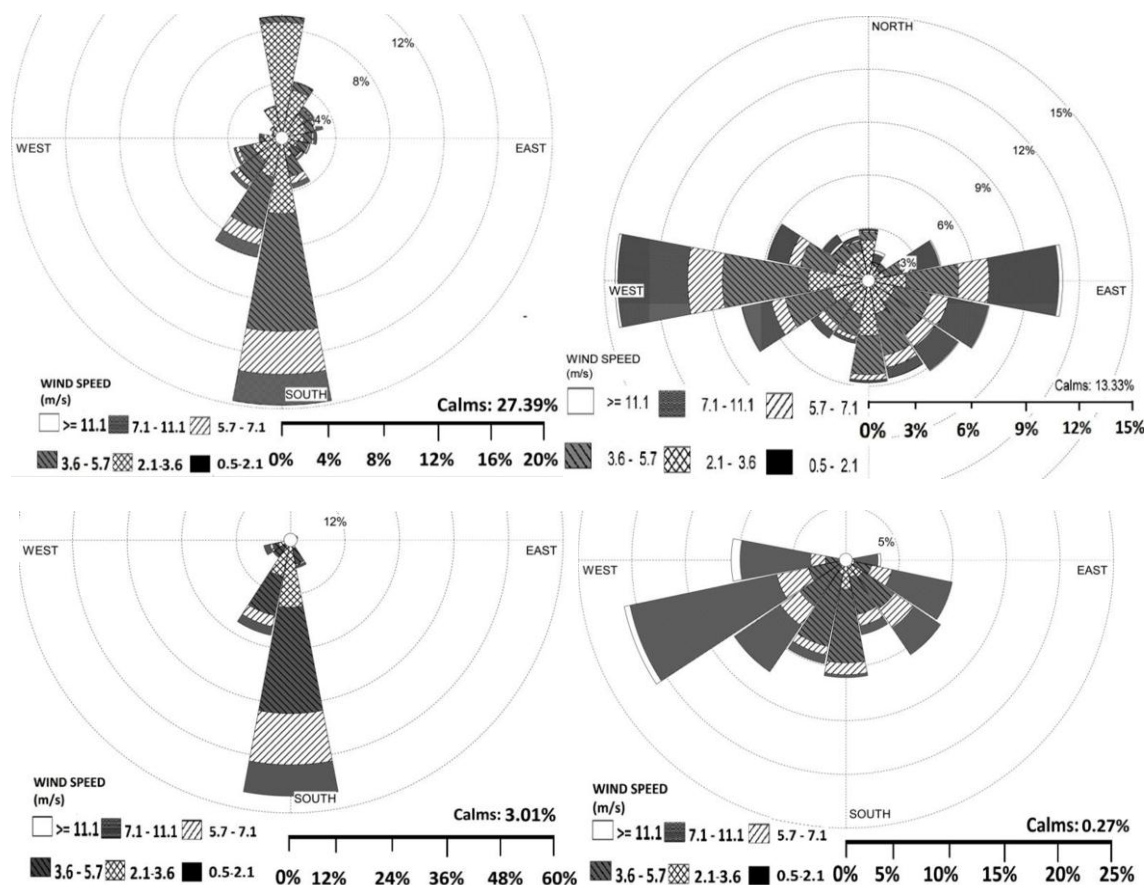
ارتفاع موج محاسبه شده از معادله‌های Molitor در فایل ورودی نرمافزار WRPlot View در ستون سرعت باد جایگزین و گل‌موج‌های ساحلی ترسیم شد.

گام پنجم: با تحلیل آمار جزر و مد ایستگاه جاسک و انتقال ارتفاع مذکور حداکثر، جزر و مذکور متوسط و جزر حداقل بر روی نقشه مدل ارتفاع رقومی منطقه (DEM 30m)، تهیه شده از تصاویر SRTM، نقشه دامنه عملکردی امواج بر روی ساحل تهیه شد. گام ششم: در این گام به کمک شواهد لندفرمی و با گردآوری و جمع‌بندی نتایج مطالعات سایر محققین، هیدرودینامیک رودخانه‌های اصلی منطقه مورد مطالعه قرار گرفت.

گام هفتم: با انتقال نتایج مطالعات دینامیک باد و امواج بر روی نقشه ژئومورفولوژی تهیه شده در گام اول، موقعیت توده‌های ماسه‌ای در بخش‌های مختلف جلگه نسبت به سایر لندفرم‌های ژئومورفولوژی، جهت بادهای اصلی و فرعی، جهت امواج ساحلی، انحنایها و جهت امتداد طولی جلگه و خطبررسی شد.

۳. نتایج

شاخص‌های آماری رژیم بادناکی مورد بررسی قرار گرفت. نزدیک‌ترین ایستگاه سینوپتیک به محدوده تحقیق که از نظر شرایط توپوگرافی و محلی با منطقه مطابقت داشته

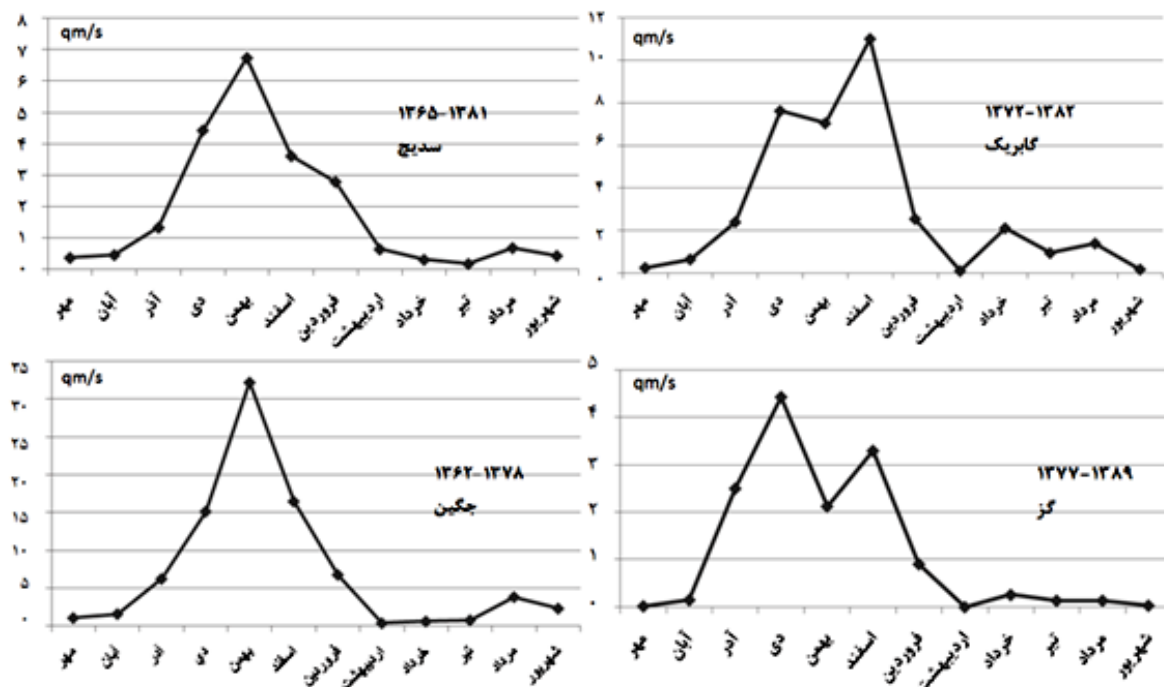


شکل ۲، راست بالا: گل باد سالانه ایستگاه سینوپتیک جاسک، راست پایین: گل باد عصرگاهی ایستگاه سینوپتیک جاسک، چپ بالا: گل باد سالانه ایستگاه سینوپتیک بندرعباس، چپ پایین: گل باد عصرگاهی ایستگاه سینوپتیک بندرعباس

جدول ۱، توزیع فراوانی جهت‌های مختلف باد و نسیم دریا با استفاده از آمار ایستگاه سینوپتیک جاسک و بندرعباس

جهت	سرعت (m/s)						
	۰/۵-۱/۲	۲/۱-۳/۶	۳/۶-۵/۷	۵/۷-۸/۸	۸/۸-۱۱/۱	۱۱/۱=<	جمع (%)
شمالی	۰/۱۱	۶	۱/۵۵	۰/۷۰	۰/۴۳	۰/۲۲	۸/۹۷
شرقی	۰/۰۵	۵/۷	۷/۴۵	۱۱/۵۴	۱/۲۹	۰/۴۱	۲۶/۴۵
*جنوبی	۰/۰۹	۸/۴	۷/۵۰	۳/۲۲	۰/۱۸	۰/۰۷	۱۹/۸۲
غربی	۰/۰۷	۹/۳	۱۰/۷۴	۱۰/۵۱	۰/۸۸	۰/۲۷	۳۱/۷۴
آرام	-	-	-	-	-	-	۱۳/۳۳
شمالی	۰/۰۱	۱۶/۳۵	۱/۳۵	۰/۱۳	۰/۰۸	۰/۰۱	۱۷/۹۱
شرقی	۰/۰۲	۶/۰۰	۲/۷۳	۰/۵۶	۰/۸۲	۰/۰۷	۱۰/۱۹
جنوبی	۰/۰۱	۱۱/۶۳	۱۵/۴۵	۵/۱۷	۳/۸۴	۰/۰۴	۳۶/۱۱
*غربی	۰/۰۱	۵/۵۴	۲/۰۲	۰/۴۳	۰/۳۱	۰/۰۰	۸/۳۱
آرام	-	-	-	-	-	-	۲۷/۳۸

*جهت جنوبی در ساحل دریای عمان و جهت غربی در ساحل تنگه هرمز منطبق با نسیم دریا به ساحل است.



شکل ۳، تغییرات دبی ماهانه رودخانه‌های اصلی (بر اساس آمار ایستگاه‌های هیدرومتری شرکت آب منطقه‌ای)

جدول ۲، ویژگی‌های هیدرودینامیکی رودخانه‌ها و مساحت جلگه آن‌ها به تفکیک حوضه‌های آبخیز (اقتباس از Yamani, 1994)

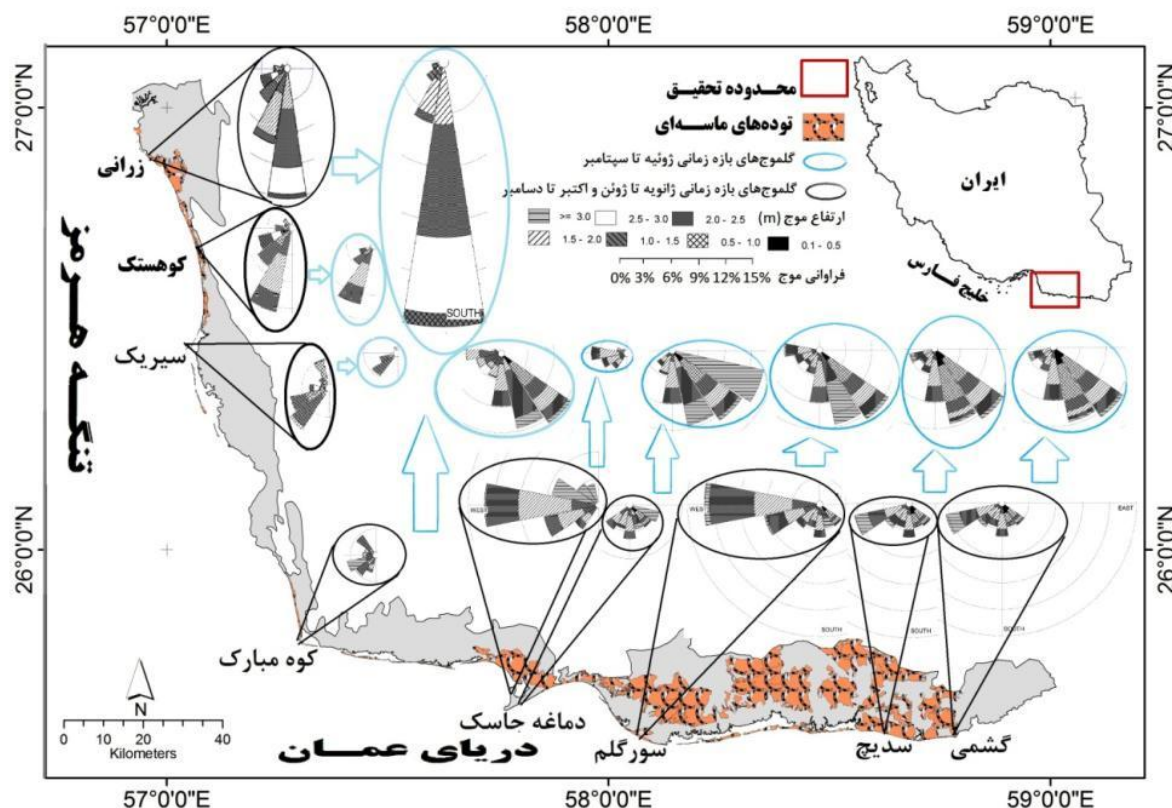
محل تغییر مسیر	تعداد تغییر مسیرهای رودخانه در بازه زمانی ۴۰ ساله	مساحت جلگه Km ²	زیر حوضه آبخیز
رأس دلتا	۳	۴۴۵/۲۰	سدیج
راس دلتا	۴	۶۷۸/۷۸	گابریک
راس دلتا	۴	۶۵۳/۱۳	جهکین
نzedیکی مصب و حاشیه تالاب	-	۸۳۱/۶۴	سیریک
نzedیکی مصب و حاشیه تالاب	-	۴۷۶/۹۶	کریان - بمانی

حاشیه مصب رودخانه زرانی، امواج غالب کاملاً جهت جنوبی می‌گیرند (شکل ۴).

دامنه عملکردی امواج بر روی ساحل بررسی شد. جدول ۳، شاخص‌های عددی جزر و مدت استخراج شده از آمار ایستگاه اندازه‌گیری جزر و مد سازمان هوواشناسی کشور را در دوره آماری ۱۵ ژوئن ۲۰۰۷ تا ۱۱ ژانویه ۲۰۱۱ نشان می‌دهد. بر طبق این جدول متوسط حداقل ارتفاع مدت دوره‌ای در این بازه زمانی ۴/۶۸ متر، ارتفاع متوسط جزر و مد، ۱/۹۷ متر و ارتفاع پایین‌ترین حد جزر، ۱۸ سانتی‌متر است.

در ساحل کوه‌بارک، از ماه اکتبر تا پایان ماه ژوئن، امواج قطاع غربی SWW تا NWW، غالب هستند. از ماه ژوئیه تا پایان سپتامبر با کاهش سریع فرکانس امواج غربی و افزایش فرکانس امواج قطاع جنوب‌شرق متمایل به جنوبی، امواج SSE، SE و SSE به ترتیب بیشترین فرکانس را به خود اختصاص می‌دهند (شکل ۴).

در ساحل سیریک، در اغلب ماه‌های سال غلبه با امواج قطاع جنوب‌غربی است. در ماه‌های اکتبر تا دسامبر و ژانویه تا مارس امواج NNW درصدی از امواج را شامل می‌شوند ولی کماکان غلبه با امواج قطاع جنوب‌غربی باقی می‌ماند. در سواحل شمالی‌تر و در



شکل ۴، گل‌موج‌های ساحلی محدوده تحقیق و موقعیت مکانی آن‌ها نسبت به تراکم‌های ماسه‌ای

شکل ۷، مقایسه عکس‌های هوایی ۱:۴۰۰۰۰ ۱۳۷۲ (سازمان جغرافیایی نیروهای مسلح) با تصاویر ماهواره‌ای کارت‌توست پی فایو ۲۰۱۴ (سازمان جغرافیایی نیروهای مسلح) از منطقه یکدار در جلگه جنوبی رانشان می‌دهد. نبکاها و بادکندهای ایجاد شده در محدوده مطالعاتی نیز جهت یافتنی جنوب‌غربی را به سمت شمال شرق نشان می‌دهد (شکل ۶ پ).

شکل ۸ نقشه ژئومورفولوژی منطقه تحقیق، موقعیت مکانی لندرفرم‌های مختلف نسبت به توده‌های ماسه‌ای و جهت رانش رسوب در محدوده ساحلی منطقه را نشان می‌دهد.

۴. بحث و نتیجه گیری

باد غالب منطقه، باد غربی است؛ باد شرقی و جنوبی، بادهای فرعی هستند که در صد و قوع نسبی بالای دارند. بر اساس گل‌بادهای عصرگاهی ایستگاههای جاسک و بندرعباس، به ترتیب به عنوان معرف ساحل جنوبی و

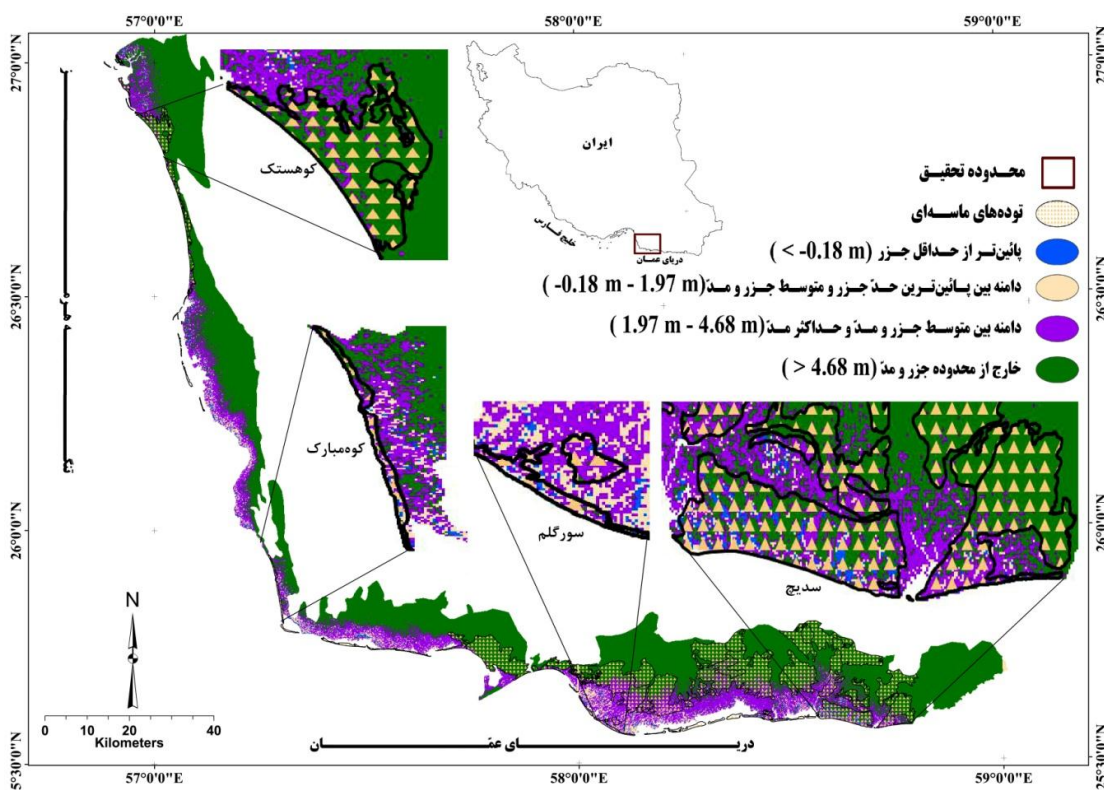
جهت حرکت و گسترش یافتنی توده‌های ماسه‌ای مورد بررسی قرار گرفت. شکل ۶ الف، بادشکنی را نشان می‌دهد که در سال ۱۳۸۵ به منظور حفاظت از نهالکاری‌های پائین دست جاده مواصلاتی جاسک به لیردف در محدوده دشت سدیج (۱۰۰ کیلومتری شرق شهرستان جاسک) احداث شده است را نشان می‌دهد؛ بنابر مشاهدات میدانی در زمان احداث بادشکن، تراکم فرم‌های ماسه‌ای در پائین دست آن صرفاً محدود به پیکان‌های ماسه‌ای، بوکلیه‌های بارخانی و نبکاها بوده است ولی همان‌گونه که در شکل ۶ ب، مشاهده می‌شود، گستره این توده‌ها طی چند سال اخیر افزایشیافته است.

جدول ۳، شاخص‌های عددی جزر و مد در دوره آماری ۱۵ ژوئن ۲۰۰۷ تا ۱۱ ژانویه ۲۰۱۱

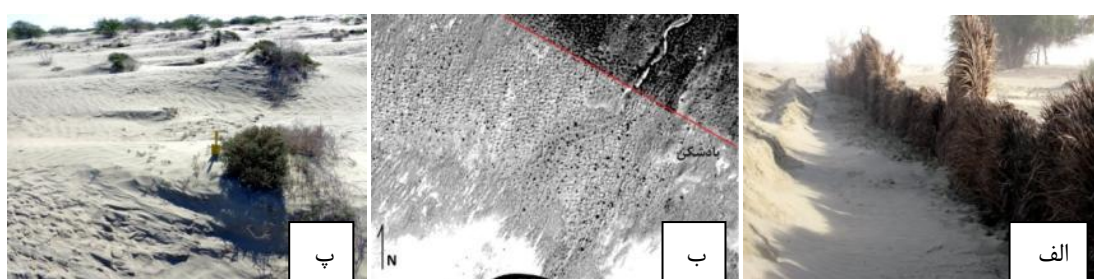
نام	ارتفاع حداقل جزر	ارتفاع متوسط جزر و مد (m)	ارتفاع حداقل جزر	ارتفاع متوسط جزر و مد (m)	ایستگاه
جاسک	۴/۶۸	۱/۹۷	۰/۱۸	۱/۹۷	جاسک

لیتوژوئی عمدتاً از سازندهای فلیش با تناوب شیل، مارن و ماسه‌سنگ تشکیل شده است (Yamani, 1994); بنابراین با توجه به ویژگی‌های زمین‌شناسی، اقلیم و توپوگرافی، تمامی منطقه از نظر فرسایش و حجم رسوب‌هایی که توسط رودخانه‌ها از حوضه‌های آبخیز به سطح دلتاهای ساحلی حمل می‌شود، وضعیت یکسانی دارد. بر اساس نتایج مطالعه هیدرودینامیک رودخانه‌ها، این رودخانه‌ها فصلی بوده و از اواخر پائیز تا اوایل بهار بیشترین جریان آب را دارند. بستر آن‌ها در فصل تابستان خشک است و یا کمترین سیالاب را دارد.

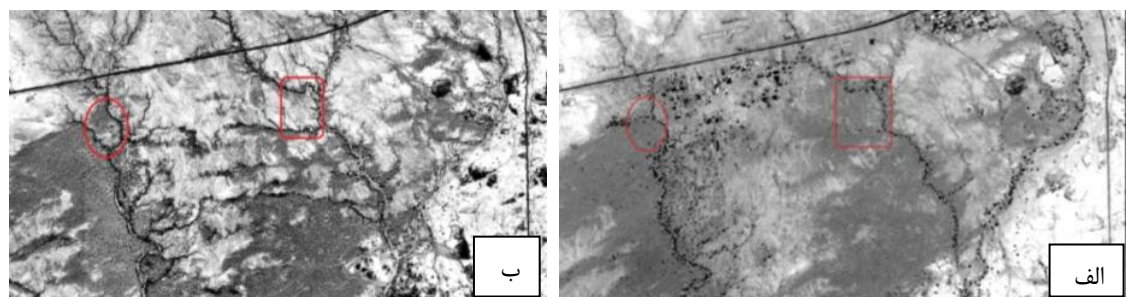
غربی، در ساحل جنوبی قریب به ۴۲٪ بادهای عصرگاهی، با سرعت بیشتر از ۷/۱ متر بر ثانیه و از قطاع جنوب شرقی تا غربی، عمدتاً از جهت جنوب‌غربی می‌وزد. در ساحل غربی نیز بیش از ۲۶ درصد بادهای عصرگاهی، سرعت بیشتر از ۷/۱ متر بر ثانیه داشته و عمدتاً از جهت جنوبی وزش دارند. با توجه به کشیدگی شمال‌غربی – جنوب‌شرقی ساحل غربی و غربی – شرقی ساحل جنوبی، این بادها عمدتاً از سمت دریا وزش داشته و می‌توانند نقش زیادی در جابجایی ماسه‌ها در ساحل و بر سطح جلگه داشته باشند. زون مکران از نظر



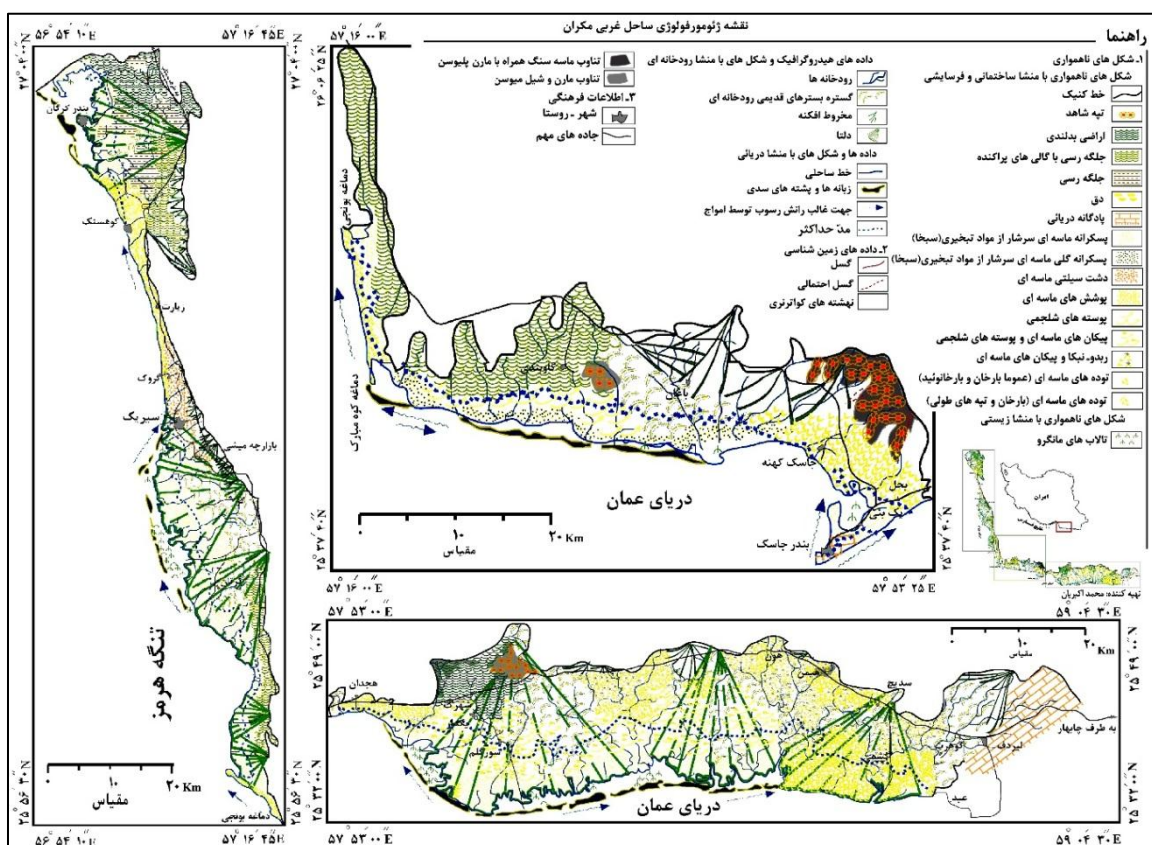
شکل ۵، دامنه جزر و مذ و موقعیت توده‌های ماسه‌ای نسبت به محدوده جزر و مذ



شکل ۶، الف) بادشکن احداث شده برای محافظت از منطقه نهال‌کاری شده در سال ۱۳۸۵ در امتداد شمال‌غربی به جنوب شرقی در ساحل جنوبی، ب) بخش از جلگه جنوبی بر روی تصویر کارتوست پی فایو ۲۰۱۴ و پ) جهت یافته‌گی پیکان‌های ماسه‌ای در امتداد جنوب غربی به شمال شرقی



شکل ۷، الف) منطقه یکدار از جلگه جنوبی بر روی تصویر کارتوست پی فایو ۲۰۱۴ و ب) همان منطقه بر روی عکس هوایی سال ۱۳۷۲



شکل ۸، نقشه ژئومورفولوژی جلگه غربی مکران (Akbarian, 2014)

ترسیب آن‌ها در باریکه‌ای از شمال شهرستان سیریک تا دلتای زرانی شده‌اند (محدوده ساحلی شمال‌غربی منطقه در شکل ۴).

Nohegar and Hosainzade (2011) دریا شامل امواج، جزر و مد و جریان‌های ساحلی و دریایی را دارای مهم‌ترین نقش در تحولات مورفولوژی خط ساحلی قاعده دلتاهای دانستند که در این میان نقش اصلی را به امواج داده و برای دو عامل دیگر نقش واسطه یا تکمیل کنند قائل شدند. همان‌گونه که در شکل ۵ (بخش نتایج) دیده می‌شود، توده‌های

همزمانی وقوع سیلاب (آورد رسو ب رودخانه‌ای به محدوده خط ساحلی) با امواج غالب قطاع غربی و جنوب‌غربی در ساحل جنوبی، رانش رسو ب ورودی توسط رودخانه‌های اصلی منطقه (جگین، گابریک و سدیچ) را به سمت شرق موجب شده و توسعه توده‌های ماسه‌ای در منتهی‌الیه جنوب‌شرقی منطقه را موجب شده است. در ساحل غربی (ساحل تنگه هرمز)، در اغلب ماههای سال غلبه با امواج قطاع جنوب‌غربی است (شکل ۴). این امواج باعث رانش رسو ب ورودی رودخانه‌های محدوده به سمت شمال و

بنابر نقشه ژئومورفولوژی منطقه، ساختار اصلی سنگشناسی محدوده تحقیق را رسوبات آبرفتی ریزدانه دوره کواترنری و در محدوده کوچکی سنگ‌های کنگلومرایی، ماسه‌سنگی تا شیل و مارنی مربوط به دوره‌های پلیوسن و نئوژن تشکیل می‌دهد. هر کدام از رخسارهای ژئومورفولوژی (لندرمها)، به‌نوعی بیانگر میزان حساسیت اراضی به فرسایش بادی است (Ekhtesasi, 2006); علاوه بر این، هر لندرم می‌تواند بیانگر نوع مناطق برداشت، حمل و یا رسوب‌گذاری باشد. نگاه کلی به مورفودینامیک لندرمها نیز می‌تواند جهت فرآیندهای فرسایشی اعم از برداشت، حمل و رسوب را تعیین نماید.

Mahmoodi, (2005) در بررسی الگوی تغییرات تپه‌های ماسه‌ای ساحل دریای عمان عنوان داشت که "منشأ تپه‌ها در نزدیکی ساحل و به احتمال قوی از دریا است، هرچند رودخانه‌های فصلی ذخیره قابل ملاحظه‌ای از رسوب را در محیط ساحلی پراکنده می‌کنند و با دور شدن از دریا تپه‌های ماسه‌ای علاوه بر منشأ دریایی، منشأ خشکی نیز پیدا می‌کنند. شکل‌های ۹ و ۱۰، تجمع توده‌های ماسه‌ای داخلی را در بالادست جلگه جنوبی نشان می‌دهد. توالی لندرمها از غرب به شرق و در جهت وزش باد غالب منطقه به ترتیب: بسترها قدیمی رودخانه‌ای، پوسته‌های شلجمی، پیکان‌های ماسه‌ای، نبکا و در نهایت توده‌های ماسه‌ای را شامل می‌شود. علاوه بر توده‌های ماسه‌ای مذکور، گستره وسیعی از توده‌های ماسه‌ای ساحلی نیز در بخش‌هایی از خط ساحلی تشکیل شده‌اند؛ شکل ۱۰ گسترش زیاد این توده‌ها را بر روی جلگه سدیج نشان می‌دهد.

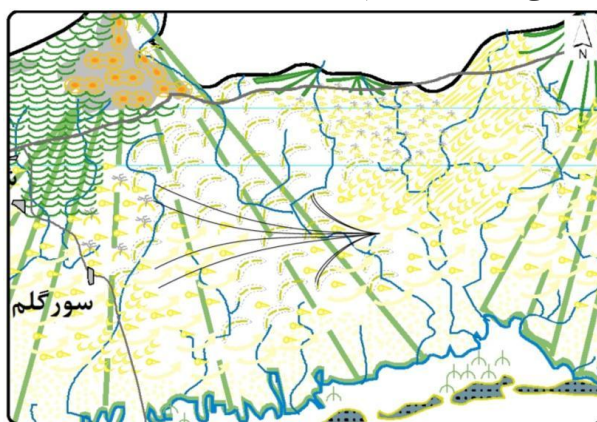
از دیدگاه لندرمی، با توجه به نقشه ژئومورفولوژی منطقه، شاخص اندازه ذرات تشکیل دهنده رسوبات و نتایج سایر گام‌های مطالعاتی، خلاصه نتایج تحقیق را می‌توان به صورت زیر بیان کرد:

پوسته‌های شلجمی، گستره بسترها قدیمی رودخانه‌ای، ربدو، نبکا و پیکان‌های ماسه‌ای، حساس‌ترین لندرمها به برداشت و حمل ذرات توسط

ماسه‌ای ساحلی عمدتاً در مناطقی تشکیل شده‌اند که دامنه جزر و مدّی وسیعی داشته، به علاوه فاقد تالاب‌های ساحلی‌اند؛ بهنحوی که توده‌های ماسه‌ای ساحلی سدیج و کوه‌بارک، کاملاً در داخل محدوده مدّ حداکثر قرار گرفته‌اند. تالاب‌های ساحلی در بخش‌های وسیعی از جلگه جنوبی و جلگه غربی گسترده‌اند؛ این بخش‌ها فاقد توده‌های گستردۀ ماسه‌های ساحلی است و صرفاً زبانه‌ها و پشته‌های سدّی را در بر می‌گیرد (شکل ۸ و ۹). این مسئله را با عدم امکان نفوذ امواج به پس‌کرانه تالاب‌ها که فقدان رانش رسوب به پس‌کرانه را موجب می‌شود، می‌توان توجیه کرد. این مناطق اگرچه به‌وسیله جزر و مد پوشانده می‌شود، ولی امواج قادر به رانش رسوب به پس‌کرانه نیستند.

بر روی عکس‌های هوایی سال ۱۳۳۵ از دشت سدیج، تپه‌های ماسه‌ای واضح و گویا نیست و تنها می‌توان آثاری از نبکا و پوشش گیاهی را مشاهده کرد (Ekhtesasi, 2006)، بر روی تصاویر ماهواره‌ای ای‌تی‌ام مثبت^۱ سال ۲۰۰۲ تپه‌های ماسه‌ای تا حدی مشهود است. در حالی که تپه‌های موجود بر روی تصاویر ماهواره‌ای کارتوتست پی‌فایو^۲، ۲۰۱۴، افزایش تراکم و ابعاد تپه‌های ماسه‌ای در فاصله زمانی احداث بادشکن در سال ۱۳۸۵ تا کنون را نشان می‌دهد (شکل ۶ ب). مقایسه عکس‌های هوایی ۱:۴۰۰۰۰ سال ۱۳۷۲ با تصاویر ماهواره‌ای کارتوتست پی‌فایو ۲۰۱۴ از منطقه یکدار در جلگه جنوبی، جهت‌یافتنی توده‌های ماسه‌ای را به سمت شمال‌شرقی نشان می‌دهد که حاکی از تأثیر بادهای جنوب‌غربی (بادهای عصرگاهی یا نسیم دریا) است (شکل ۷). نبکاها و بادکندهای ایجاد شده در محدوده مطالعاتی نیز جهت‌یافتنی جنوب‌غربی را به سمت شمال‌شرقی نشان می‌دهد و مؤید اثرگذاری بادهای عصرگاهی (نسیم دریا) بر جابجایی ماسه است.

معنا که باد غربی پس از کند و کاو بر سطح جلگه (بهطور اخص گستره بسترها قدمی رودخانه‌ای) و ایجاد فرم‌های خاص برداشت و حمل شامل پوسته شلجمی، نبکا و پیکان ماسه‌ای، بار محموله خود را به صورت تراکم‌های ماسه‌ای به‌جاگذاشته است. نقش بادهای فرعی شرقی و جنوبی، صرفاً به تغییر مسیر گسترش توده‌های ماسه‌ای داخلی به سمت شمال شرقی مناطق برداشت، محدود شده است. در جلگه غربی علاوه بر گسترش کم بسترها قدمی رودخانه‌ای، کشیدگی شمالی جنوبی جلگه، باعث شده که باد غالب زمان کوتاهی بر سطح جلگه ورزش داشته و فرصتی برای ایجاد فرم‌های بادی نیابد.



شکل ۹، مقطعی از نقشه ژئومورفولوژی منطقه دربرگیرنده بخشی از دلتاهای جگین در غرب و گابریک در شرق

(Akbarian, 2014)

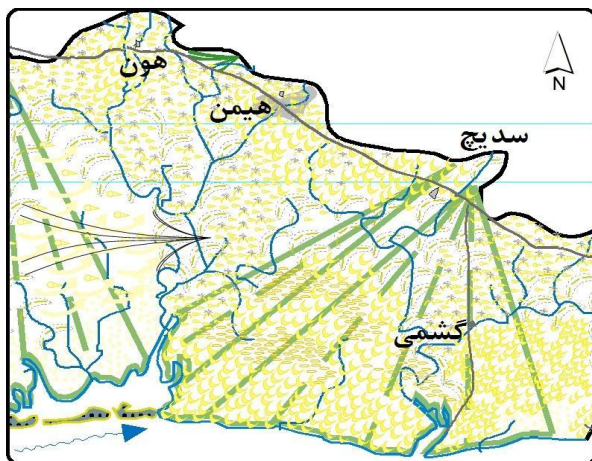
بخشی از رسوبات ماسه‌ای به‌وسیله رودخانه‌ها به قاعده دلتاهای و امتداد خط ساحل حمل شده ، تحت تأثیر امواج مایل و حرکت جانبی رسوب در طول خط ساحل توزیع می‌شود. در زمان حداقل مدد ماهانه، پهنه وسیعی از ساحل جزر و مدبی پوشیده از ماسه‌های فوق الذکر، از آب خارج شده ، تحت تأثیر تابش شدید خورشید خشک می‌شود. ماسه‌های خشک شده به‌وسیله بادهای نسبتاً شدید ساحلی که در نیمروز از سوی دریا به خشکی می‌وزد، به پهنه ساحلی منتقل می‌شود و رشته‌های ماسه‌ای متعددی را در امتداد خط ساحلی به وجود می‌آورد (Yamani, 1995).

توده‌های ماسه‌ای ساحلی عمدها در مناطقی تشکیل

باشند. پس‌کرانه‌ها اعم از پس‌کرانه‌های ماسه‌ای، گلی ماسه‌ای و دشت‌های سیلی ماسه‌ای (سبخاها)، به دلیل دارا بودن پوششی از پوسته‌های نمکی هرچند نازک و شکننده و رطوبت ناشی از هم‌جواری با دریا تا حدودی از برداشت به‌وسیله باد مصون هستند.

مجموعه ماسه‌های سواحل عمان به دو بخش ماسه‌های ساحلی و ماسه‌های بادی تقسیم می‌شوند؛ ماسه‌های ساحلی بدون استثناء به صورت رشته‌های عرضی و موازی با ساحل شکل می‌گیرند (Mahmoodi, 2002). نگاه کلی به نقشه ژئومورفولوژی منطقه (شکل ۸) حاکی از گسترش زیاد لندرفمهای حساس به برداشت باد در جلگه جنوبی و گسترش کم آن‌ها در جلگه غربی است. جهت و مسیر رودخانه‌های اصلی بر سطح جلگه جنوبی، شمالی جنوبی و در جلگه غربی، شرقی غربی است. این امر، گستره بیشتری از بسترها قدمی رودخانه‌ای در جلگه جنوبی را در معرض برداشت توسط باد غالب منطقه قرارداده است. گسترش محدود یا فقدان لندرفمهای نظیر پوسته‌های شلجمی و نبکاها در حاشیه بسترها قدمی رودخانه‌ای در جلگه غربی، مؤید ضعف عملکرد فرسایشی باد، به دلیل پهنانی کم این جلگه می‌باشد. تغییر مسیر رودخانه‌های اصلی در بالادست جلگه نیز باعث گسترش بسترها قدمی رودخانه‌ای در سطح جلگه جنوبی شده است، حال اینکه تغییر مسیرها رودخانه‌ای در جلگه غربی در پائین دست بوده و گستره زیادی از بسترها قدمی را به وجود نیاورده است.

تراکم شکل‌های ماسه‌ای تا حد زیادی به پهنانی نوار ساحلی بستگی دارد؛ بنابراین تراکم توده‌های ماسه‌ای در ساحل جنوبی [مکران] بیشتر از ساحل غربی [ساحل تنگه هرمز در محدوده مکران] است (Yamani, 1995). همان‌گونه که در نقشه ژئومورفولوژی (شکل ۸، ۹ و ۱۰) دیده می‌شود، توده‌های ماسه‌ای داخلی اغلب بر سطح جلگه جنوبی و در امتداد مسیر باد غالب منطقه پس از گذر از بسترها قدمی رودخانه‌ای، تشکیل شده‌اند؛ بدین



شکل ۱۰، مقطعی از نقشه ژئومورفولوژی منطقه دربرگیرنده بخشی از دلتاهای گابریک در غرب و سد

Kidd (2001) امواج را در حرکت ماسه در ساحل نزدیک مؤثر می‌داند؛ به گفته او، امواج در آبهای عمیق تعامل کمی با بستر دارند لیکن با نزدیک شدن به ساحل و کم شدن عمق، شکسته شده و باعث جابه‌جائی رسوب می‌شوند. تپه‌های ماسه‌ای ساحلی پشتنهایی از ماسه‌اند که توسط باد در کنار ساحل نهشته شده‌اند. در حواشی ساحل نهشته‌های بادی با ماسه‌هایی که توسط امواج نهشته‌می‌شوند، آمیخته‌اند لیکن با دور شدن از ساحل نیروی باد، عامل اصلی خواهد بود. (Jones et al., 2005) به نقل از Pattiaratchi et al., (1997) و Masselink and Pattiaratchi (1998) سازوکار اصلی جابه‌جائی ماسه و ایجاد مورفلوژی سواحل ماسه‌ای در جلگه سُوان^۱ را متأثر از رژیم امواج غالب و وزش نسیم پرانرژی دریا می‌داند. (Eric et al., 2009) در بررسی نقش بادهای دوچهته در شکل‌گیری تلماسه‌ها در صحراي سینای مصر به این نتیجه رسیدند که بادهای دوچهته با زاویه ۱۲۰ درجه باعث ایجاد تلماسه‌های سیف می‌شوند و برآیند این دو باد جهت حرکت ماسه را نشان می‌دهند.

شده‌اند که دامنه جزر و مدّی وسیعی داشته و به علاوه قادر تالاب‌های ساحلی‌اند (شکل ۵، ۸ و ۱۰)؛ تالاب‌های ساحلی در بخش‌های وسیعی از جلگه جنوبی و جلگه غربی گستردۀ‌اند؛ این بخش‌ها قادر توده‌های گستردۀ ماسه‌های ساحلی‌است و صرفًا زبانه‌ها و پشتله‌های سدّی را در بر می‌گیرد (شکل ۸ و ۹). این مسئله را با عدم امکان نفوذ امواج به پس‌کرانه تالاب‌ها که فقدان رانش رسوب به پس‌کرانه را موجب می‌شود، می‌توان توجیه کرد.

- وجود انحنای‌های شدید در خط ساحلی موجب تغییر در گستره رانش رسوب توسط امواج شده‌است. تشکیل توده ماسه‌ای ساحلی کوه‌مبارک را به تغییر مسیر رانش رسوب توسط دماغه کوه‌مبارک؛ توده ماسه‌ای ساحل سورگلم (در شرق جاسک) را به تغییر مسیر امواج توسط دماغه جاسک و تشکیل توده ماسه‌ای کوه‌ستک را به اثر پیش‌آمدگی دلتاهای گز- حیوی در جنوب و دلتای زرانی در شمال آن بر مسیر امواج و رانش رسوب می‌توان نسبت‌داد (شکل ۴).

نسیم دریا با سرعت بین ۵ تا ۷ متر بر ثانیه، عمق نفوذ کمی در خشکی دارد (Robert et.al., 2004) همچنین در صورت وزش بادهای مخالف با سرعت ۵ تا ۷ متر بر ثانیه، نسیم دریا قادر به نفوذ در خشکی نیست (Arritt, 1993). با توجه به سرعت نسیم دریا و وزش بادهای مقابل (جدول ۲)، این موضوع انتقال رسوب به وسیله باد از خط ساحلی به پس‌کرانه را محدود کرده است. به علت تشدید اثر باد مقابل کوه‌ستان دشت، اثر این عامل در مناطقی که عرض جلگه کم بوده و کوه‌ستان به خط ساحلی نزدیک می‌شود، مشهودتر می‌باشد. عرض کم توده‌های ماسه‌ای ساحلی در دماغه کوه‌مبارک در غرب شهرستان جاسک و همچنین مناطق گروک و زیارت در شمال شهرستان سیریک مؤید این مطلب است.

توده‌های ماسه‌ای داخلی اغلب بر سطح جلگه جنوبی و در امتداد مسیر باد غالب منطقه پس از گذر از بسترهای قدیمی رودخانه‌ای، تشکیل شده‌اند، بدین معنا که باد غربی پس از کند و کاو بر سطح جلگه (به‌طور اخص گستره بسترهای قدیمی رودخانه‌ای) و ایجاد فرم‌های خاص برداشت و حمل، بار محموله خود را به صورت تراکم‌های ماسه‌ای به‌جا گذاشته است. در جلگه غربی که امتداد طولی جلگه عمود بر جهت باد غالب است و گستره‌ی بسترهای قدیمی رودخانه‌ای کمتر می‌باشد، پهنه‌ای کمتری در معرض رفت‌و‌رُوب بادی قرار می‌گیرد. باد غالب با پیمودن عرض کم جلگه و رسیدن به کوهستان سرعت خود را از دست می‌دهد. از این نظر پراکندگی توده‌های ماسه‌ای سطح جلگه بیش از اینکه تابع باد باشد، متأثر از جهت کشیدگی جلگه و بالطبع وسعتی از بستر سیلابی و بسترهای قدیمی رودخانه‌ای است که در معرض باد غالب منطقه قرار دارد. لذا می‌توان عنوان کرد که این توده‌ها غالباً منشأ رودخانه‌ها داشته، مورفولوژی و وسعت بستر سیلابی رودخانه‌ها مهم‌ترین عوامل تعیین‌کننده حجم جابجایی و تراکم مکانی آن‌ها است.

منابع

- Akbarian, M., 2014, Analysis of Coastal plain Sand Masses Morphogenesis and their temporal variations (Case study: Western coast of Makran), Ph.D thesis, Supervisor: Dr. Siavosh Shayan, Dr. Mojtaba Yamani, Tarbiat Modares University,Iran
- Arritt, R. W., 1993. Effects of Large Scale Flow on Characteristic Features of the Sea Breeze. *J.Appl. Meteorol.* 32, 116–125.
- Bagnold, R.A. (1941). The Physics of Blown Sand and Desert Dunes. Methuen, London. 265p.
- Bagnold, R.A. 1939. Interim report on wave pressure research, Journal Inst. Civil Engr. Vol.12. pp. 201-226
- Bazobandi, M.H., 2003. Ophiolite, Journal of Geology, 35, 23-36.
- Chepil, W.S., Woodruff, N.P., 1963. The physics of wind erosion and its control. Advances in Agronomy 15, 211–302.

Silvestro et.al. (2010) با شناسایی مسیر حمل و مناطق احتمالی منشأ تپه‌های ماسه‌ای در شرق منطقه تاماسیا^۱، خاطر نشان کردند که پیچیدگی الگوی تپه‌ها می‌تواند تغییرات شدید رژیم باد را نشان دهد. همچنین (2013) Rijn، با توجه به مشاهدات میدانی در دوره‌های زمانی طولانی از سواحل، عنوان کرد که امواج طوفانی، رسوبات را به ساحل دور منتقل می‌کنند درحالی‌که امواج دورآ و امواج ضعیف اقلیمی، رسوبات را به منطقه ساحلی برمی‌گردانند.

با توجه به ثابت بودن ویژگی‌های باد منطقه، پراکندگی توده‌های ماسه‌ای ساحلی تابع باد نیست و بیشتر متأثر از ویژگی‌های ژئومورفولوژیک پیش‌کرانه جزر و مدی و هیدرودینامیک ساحلی است. باد به صورت نسیم دریا به خشکی صرفاً در مناطقی که شرایط ژئومورفولوژیک پیش‌کرانه و انحنای خط ساحلی از نظر رانش رسوبات توسط امواج مناسب است، رسوبات ریزدانه را از محدوده ساحلی به پیش‌کرانه جزر و مدی منتقل کرده است. این رسوبات در فاصله کمی از ساحل و به موازات خط ساحلی بر روی پس‌کرانه خشکی بر جایگذاشته شده‌اند. پیش‌کرانه‌های جزر و مدی منتهی به خورها و تالاب‌های ساحلی، از دسترس امواج و انتقال رسوب به‌وسیله آن‌ها دور بوده‌اند؛ لذا پس‌کرانه آن‌ها عموماً فاقد توده‌های ماسه‌ای ساحلی است. در مناطقی که عرض جلگه بیشتر است نظیر ساحل سدیج در منتهی‌الیه جنوب شرقی و ساحل کوهستان کوهستانک در منتهی‌الیه شمال غربی منطقه، توده‌های ماسه‌ای ساحلی گستره‌ی بیشتری یافته‌اند؛ بالعکس در مناطقی که عرض جلگه کم است نظیر ساحل کوه‌مبارک-بونجی و ساحل گروک، گستره توده‌های ماسه‌ای ساحلی کم است.

- Department of Geography, University of Isfahan
- Meteorological Organization of Iran, data of Jask and Cirik wind monitoring stations
- Meteorological Organization of Iran, tide data of Jask station
- National Geographical Organization, aerial photos scale: 1: 40 000 year: 1992
- National Geographical Organization, Cartosat P5 satellite imagery year: 2014
- Negarestani, H., 2006. Coastal Geomorphology of Estuary of Tang and its Characteristics, GEOGRAPHY AND DEVELOPMENT, Spring-Summer 2006, V.4, N.7 ; Page(s) 69 To 88.
- Nohegar, A., Hosainzade, M.M., 2011. Sea Dynamics and the Factors affecting Sea level Fluctuations the Evolutions of the Deltas base in northern Strait of Hormuz, GEOGRAPHY AND ENVIRONMENTAL PLANNING (UNIVERSITY OF ISFAHAN), FALL 2011 , Volume 22 , Number 3 (43) ; Page(s) 125 To 142.
- Rijn, Leo C. van. 2013. EROSION OF COASTAL DUNES DUE TO STORMS, www.leovanrijn-sediment.com
- Robert, C. G., S. Raman, and D. Niyogi, 2004. Observational and numerical study of the influence of large scale flow direction and coastline shape on sea-breeze evolution, Boundary Layer Meteorol., 111, 275 – 300
- Ross, C.W. (1955). Laboratory study of shock pressures of breaking wave, Beach Erosion Board Tech. Memo. No.59.
- Senturk, F., 1995. Hydraulics of Dams and Reservoirs, Google eBooks online preview.
- Shamsipur, A.A, 2004. Mechanism of formation of the sea breeze in the northern coasts of Persian Gulf, 10th National Symposium of Persian Gulf
- Silvestro, S., Di Achille, G., Ori, G.G. 2010. Dune morphology, sand transport pathways and possible source areas in east Thaumasia Region, Geomorphology 121,PP 84–97
- Steetzel, H., 1993. Cross-shore transport during storm surges. Doctoral Thesis, Delft University of Technology, Delft, The Netherlands
- United Kingdom Hydrographic Office, 2004. The Mariner's Handbook. Eighth edition. Published by the United Kingdom Hydrographic Office. 260p.
- United Kingdom Hydrographic Office, 2005. The Persian Gulf and its approaches from Ra's al Junayz, in the south-west to Gwatar Bay in Dean, R.G. (1973). Heuristic models of sand transport in the surf zone. Conf. on Eng. Dynamics in coastal zone, Sydney, Australia
- Dette, H.H. and Uliczka, K., 1987. Prototype investigation on the time-dependent dune recession and beach erosion. Coastal sediments, New Orleans, USA, p. 1430-1444
- Ekhtesasi, M.R., 2006. Study of Wind Erosion control of Sdych-Heyman critical area, V. 4 Erosion and Sedimentation studies
- Eric, J. R. Partelia, Orenco Durán, Haim Tsoarc, Veit Schwämmled, and Hans J. Herrmann. (2009). Dune formation under bimodal winds, Applied Physical Sciences, vol. 106 no. 52.
- Geological Survey & Mineral Explorations of Iran, geological maps of Jask, Taheroee, Minab, Gabrik, Piveshk
- Gharibreza, M., Motamed, A., 2004. Assessment of changes in coastal sand dunes Sistan and Baluchestan Province, Geography Research Quarterly, V.50, 35-48
- Greeley, R., Iversen, J.D., 1985. Wind as a Geological Process on Earth, Mars, Venus and Titan. Cambridge Planetary Science Series. Cambridge University Press, Cambridge.
- Hayashi, T., Hattori, M., 1958. Pressure of the breaker against vertical wall. Coastal Engineering in Japan. Vol.1.
- Jones, A., 2005, Perth Community Risk Report, Chapter 7: Potential Coastal Erosion of the Swan Coastal plain due to long term Sea Level Rise. Geoscience Australia, http://www.ga.gov.au/webtemp/image_cache/GA6535.pdf
- Kidd, R., 2001. Coastal Dune Management, A Manual of Coastal Dune Management and Rehabilitation Techniques, NSW Department of Land and Water Conservation, 96p.
- Larson, M., Erikson, L. and Hanson, H., 2004. An analytical model to predict dune erosion due to wave impact. Coastal Engineering, Vol. 51, p. 675-696
- Mahmoodi, F., 2010. Dynamic Geomorphology, Payam-e-Noor University, 281p.
- Mahmoodi, F., 2002. Iran's geographical distribution of the Ergs, Research Institute of Forests and Rangelands, 188p.
- Mahmoodi, S., 2005. Evaluation of dunes' natural changes in Eastern Jask County in the period 1383-1369, Master thesis under supervision of Dr Mohammad Ramesht,

- Yamani, M., 1995. Relationship of local wind characteristics and morphology of Makran coastal plain dunes, Journal of Geographical Research, paper no. 466, 93-106
- Yamani, M., 1995. The effect of water movement in the Sea of Oman on the development of tidal wetlands, Geographical researches, V.37, 19-34
- Yamani, M., 2013. Geomorphology maps, methods and techniques
- Yan, P., Shi, P., 2004. Using the ^{137}Cs Technique to Estimate Wind Erosion in Gonghe Basin, Qinghai Province, China, Soil Science, VOL. 169 No. 4, 295-305
- the east. Thirteenth edition. Published by the United Kingdom Hydrographic Office. 306p.
- Vellinga, P. (1986). Beach and dune erosion during storm surges. Doctoral Thesis, Delft University of Technology, Delft, The Netherlands (Publication 372, Delft Hydraulics)
- Water Organization of Iran, Hydrometric data of East stations of Hormozgan Province
- Yamani, M., 1994. Causes of periodic redirection of the river on the Eastern Makran coastal plain deltas, Geographical Research, V.35, 34-56

Dominant processes causing the Formation of Coastal Sand Masses, Case study: Western Makran Coastal Plain

Siavosh Shayan¹, Mohammad Akbarian^{*2}, Mojtaba Yamani³, Mohammad Sharifikia⁴, Mehran Maghsoudi³

1. Dept. of Physical Geography, University of Tarbiat Modares, Tehran, Iran
2. Dept. of Geography, University of Hormozgan, Bandarabbas, Iran
3. Dept. of Physical Geography, University of Tehran, Tehran, Iran
4. Dept. of Remote Sensing, University of Tarbiat Modares, Tehran, Iran

Abstract

The instability and mobility of sand dunes is a major concern for those involved in the planning processes and management of arid coastal plains. Dune systems are created due to several factors and elements. Regarding environmental planning and the management of coastal zones, the study of their formation and development processes is of great importance. The present study aims at identifying the most influential factors in the dispersion of sand masses in the western region of the Makran Plain. The data for this study consisted of spatial maps of landform distributions, wind velocities and directions, fetch lengths as well as dynamic waves. Thematic topographical and geological maps, satellite images, GPS, and software such as WR_{PLOT} view, Freehand, and Arc GIS were used for data processing and analysis. After the generation of the Geomorphologic units map through the Molitor Equation in WR_{PLOT} view , wind and wave rose diagrams were provided. Also, the elongation and direction of sand mass movements in the plain were obtained through multi-temporal and multisensory data. The main rivers' monthly discharges were analyzed according to information gathered from previous studies as well as their relevant hydrometric water stations. Results indicated that the location and distribution of coastal sand masses are not affected by wind, but by the geomorphologic characteristics of foreshore and coastal hydrodynamics. Also, the distribution of internal sand masses on the coastal plain is affected mostly by the plain stretches relative to the prevailing wind direction and to the extent of old beds and floodplains that are exposed to the prevailing wind rather than the wind itself.

Keywords: Coastal geomorphology, Coastal sand, Sea dynamic, River hydrodynamic, Makran plain

Figure 1: Plan view of study region

Figure 2: Wind rose diagrams, top right: Jask annual, bottom right: Jask 12GMT, upper left: BandarAbbas annual, bottom left: BandarAbbas 12GMT

Table 1: frequency distribution of wind and sea breeze directions in BandarAbbas and Jask synoptic stations

Figure 3: Water debit monthly change of main rivers (related to the hydrometric water stations of Water Organization of Iran)

Table 2: The hydrodynamic characteristics of main rivers and their plain area (after Yamani, 1994)

Figure 4: Coastal wave rose's diagrams and their geographical locations

Table 3: Numerical indexes of tide data in the period June 15, 2007 to January 11, 2011

Figure 5: Tidal range and position of sand mass relative to the tidal zone

*Corresponding author, E-mail: m.akbarian@modares.ac.ir

Figure 6: a) Windbreaks built in 1385 along the northwest to the southeast to protect the planting area in south coastal plain b) sand masses distribution on south coast, IRS – P5 of 2014 imagery, c) Elongation of dunes toward northeast

Figure 7: Sand masses distribution on south coastal plain, a) aerial photographs of 1955 b) IRS – P5 of 2014

Figure 8: Geomorphologic map of Western Makran Coastal Plain (Akbarian, 2014)

Figure 9: parts of geomorphologic map of Western Makran Coastal Plain- Gagin and Gabrik deltas (Akbarian, 2014)

Figure 10: parts of geomorphologic map of Western Makran Coastal Plain- Gabrik and Sedijch deltas (Akbarian, 2014)